



# การศึกษาการตกค้างของโครงเมียมและนิกเกิลที่ฝังในกระดูก ภายหลังการเจาะกระดูกด้วยหัวเจาะรากฟันเทียม

อุมาพร วิมลกิตติพงศ์ ท.บ.<sup>1</sup>

สรพัชญ์ นามะโน ท.บ., M.Sc., อ.ท. (ทันตกรรมประดิษฐ์)<sup>2</sup>

สิทธิชัย ทัดศรี ว.ท.บ., ท.บ., พ.บ., รป.บ., อ.ท. (ศัลยศาสตร์ซ่องปากและแม็กซิโลเฟเชียล)<sup>3</sup>

<sup>1</sup>นิสิตบัณฑิตศึกษา ภาควิชาทันตกรรมประดิษฐ์ คณะทันตแพทยศาสตร์ จุฬาลงกรณ์มหาวิทยาลัย

<sup>2</sup>ภาควิชาทันตกรรมประดิษฐ์ คณะทันตแพทยศาสตร์ จุฬาลงกรณ์มหาวิทยาลัย

<sup>3</sup>ภาควิชาศัลยศาสตร์ คณะทันตแพทยศาสตร์ จุฬาลงกรณ์มหาวิทยาลัย

## บทคัดย่อ

วัตถุประสงค์ ศึกษาการตกค้างของโลหะโครงเมียมและนิกเกิลในกระดูก เมื่อมีการใช้หัวเจาะรากฟันเทียมเป็นครั้งที่ 1 ครั้งที่ 10 และครั้งที่ 20

วัสดุและวิธีการ การศึกษานี้ใช้ขักรรไกรล่างวัว 11 ข้ากรรไกร แต่ละข้ากรรไกรตัดเป็นกระดูกชิ้นทดสอบขนาด  $8 \times 8 \times 12$  มิลลิเมตร จำนวน 21 ชิ้น ล้วน 1 ชิ้นเป็นชิ้นกระดูกควบคุมที่ไม่มีการเจาะกระดูก กระดูกที่เหลืออีก 20 ชิ้นสุ่มเลือกเพื่อเจาะกระดูกเป็นลำดับที่ 1 ถึง 20 การเจาะนั้นใช้หัวเจาะรากฟันเทียม 1 ชุด ต่อ 1 ข้ากรรไกร หัวเจาะรากฟันเทียม 1 ชุด ประกอบด้วยหัวเจาะ 3 ตัว คือ หัวเจาะเทปเบอร์ทิป เส้นผ่าศูนย์กลาง 2 มิลลิเมตร (บริษัทเรเพลสชีลในเบลไบโอล็อก) หัวเจาะเทปเบอร์ เส้นผ่าศูนย์กลาง 3.5 มิลลิเมตร (บริษัทเรเพลสชีลในเบลไบโอล็อก) และสุดท้ายใช้หัวเจาะรีมเมอร์ เส้นผ่าศูนย์กลาง 3.7 มิลลิเมตร (โครงการวิจัยพัฒนาผลิตภัณฑ์หัวเจาะรากฟันและอุปกรณ์) ทำการเจาะกระดูกชิ้นทดสอบแต่ละชิ้นด้วยหัวเจาะรากฟันเทียม 3 ตัว ตามลำดับขนาดเส้นผ่าศูนย์กลาง โดยมีการควบคุมแรงดึง ความเร็วของเครื่องเจาะ และความลึกของหัวเจาะในกระดูกให้คงที่ วัดปริมาณโครงเมียมและนิกเกิลที่ตกค้างในกระดูกด้วยเครื่องแกร์ไฟต์เฟอเนท อะตอมมิกแอบซอฟพชันสเปกโทรไฟต์โมเตอร์ ในชิ้นกระดูกควบคุม ชิ้นกระดูกที่ถูกเจาะเป็นลำดับที่ 1 10 และ 20 เปรียบเทียบปริมาณโครงเมียมและนิกเกิลที่ตกค้างด้วยสถิติคู่สัมบูรณ์-วัลลิส ที่ระดับนัยสำคัญ 0.05

ผลการศึกษา การใช้หัวเจาะรากฟันเทียมครั้งที่ 20 ทำให้เกิดการตกค้างของโครงเมียมและนิกเกิลในกระดูกมากที่สุด การใช้หัวเจาะครั้งที่ 1 ทำให้เกิดการตกค้างของโครงเมียมและนิกเกิลในกระดูกน้อยที่สุด เมื่อเปรียบเทียบปริมาณโลหะแยกตามชนิดพบว่าการตกค้างของโครงเมียมจากการใช้หัวเจาะครั้งที่ 1 มีปริมาณน้อยกว่าการใช้หัวเจาะครั้งที่ 10 และ 20 อย่างมีนัยสำคัญทางสถิติ สำหรับนิกเกิลพบว่าปริมาณการตกค้างมีความแตกต่างอย่างมีนัยสำคัญทางสถิติระหว่างการใช้หัวเจาะครั้งที่ 1 กับครั้งที่ 20 เท่านั้น

**สรุป** เมื่อใช้ชุดหัวเจาะรากฟันเทียมที่ประกอบด้วยหัวเจาะรากฟันเทียม 3 ตัวที่มีขนาดและบริษัทراكเทียมตามที่กำหนดไว้ในการทดลอง พบร่วมกับการตอกค้างของโครงเมียมและนิกเกิลในกระดูก เมื่อใช้หัวเจาะกระดูกช้ำ การใช้ชุดหัวเจาะเป็นครั้งที่ 20 จะทำให้เกิดการตอกค้างของโครงเมียมและนิกเกิลจากหัวเจาะแตกต่างอย่างมีนัยสำคัญทางสถิติ เมื่อเปรียบเทียบกับการใช้หัวเจาะครั้งแรก

(ว ทันต จุฬาฯ 2554;34:99–108)

**คำสำคัญ:** กระดูก; การตอก; โครงเมียม; นิกเกิล; หัวเจาะรากเทียม

---

## บทนำ

การใช้หันตกรรมรากฟันเทียมในประเทศไทยยังจำกัด การใช้ในผู้ป่วยเป็นบ้างกลุ่ม เนื่องจากค่าใช้จ่ายของการบูรณะด้วยรากฟันเทียมยังมีราคาค่อนข้างสูงเมื่อเทียบกับการใส่ฟันปลอมชนิดอื่น เนื่องจากอุปกรณ์เครื่องมือที่ใช้ในการฝังรากฟันเทียมรวมถึงตัวรากฟันเทียมล้วนต้องนำเข้าจากต่างประเทศ ดังนั้นการผลิตชิ้นส่วนเครื่องมือที่ใช้ในกระบวนการเจาะกระดูกเพื่อฝังรากฟันเทียมรวมถึงตัวรากฟันเทียม ซึ่งออกแบบและผลิตโดยคนไทยและมีประสิทธิภาพเทียบเท่ากับที่มีอยู่ในห้องทดลองชั้นนำเข้าจากต่างประเทศ จึงจะเป็นอีกทางเลือกหนึ่งที่ทำให้ผู้ป่วยสามารถใช้รากฟันเทียมเพื่อการบูรณะฟันได้มากขึ้น หัวใจกระดูกเป็นอุปกรณ์หนึ่งที่มีส่วนสำคัญในกระบวนการฝังรากฟันเทียม ในปัจจุบันหัวใจกระดูกออกแบบให้มีความหลากหลาย เนื่องจากมีการปรับปูนรูป่าวัง วัสดุ พื้นผิว และองค์ประกอบทางเคมี เพื่อให้เกิดผลลัพธ์ที่ดีเยี่ยมที่สุด สำหรับผู้ป่วย นำไปสู่การหายของแผลที่รวดเร็วและเป็นปกติ<sup>1</sup> Schaffer และคณะ<sup>2</sup> ได้กล่าวว่า อุปกรณ์และเครื่องมือทางการแพทย์ที่เป็นโลหะสามารถทำให้เกิดการตอกค้างของโลหะในเนื้อเยื่อได้หลายทาง เช่น จากการสึก (wear) การกดกร่อนของวัสดุ (corrosion) และการแตกหักจากปัจจัยเชิงกล (mechanic factor) เช่น ความล้าของวัสดุ (fatigue) ความเครียด (stress) การศึกษาของ Granchi และคณะ<sup>3</sup> พบว่า อนุภาคของสารจากการสึกกร่อน (wear particles) เช่น อลูมิโนออกไซด์ และโพลีเอทิลีนสามารถนำไปสู่การตอบสนองที่เปลี่ยนแปลงไปของเซลล์օสฟีโอบลาส (osteoclast) օสฟีโอบลาส (osteoblast) และสารสื่อกลาง (mediator) ที่เปลี่ยนแปลงไปในบริเวณกระดูก ซึ่งมีผลให้กระบวนการหายของแผลไม่สมบูรณ์ ในการศึกษาความเป็นพิษที่เกิดขึ้นกับเซลล์ (cytotoxicity) ของ Ning และคณะ<sup>1</sup> พบว่า โคโรเมียมเป็นโลหะที่ทำให้เกิดพิษหรือเกิดสิ่งที่ไม่พึงประสงค์ต่อเซลล์สร้างกระดูกในการสร้างโปรตีนและการสร้างสารแมคโครโมเลกุล (macromolecular synthesis) การทดลองของ Morais และคณะ<sup>5</sup> พบว่า никเกลและโคโรเมียมมีผลทำให้กระบวนการสะสัมภ์เร็วขึ้นในกระดูก โดยเฉพาะการสะสัมของแคลเซียมและฟอสฟอรัสในกระดูกมีปริมาณน้อยลง การศึกษานี้มีจุดประสงค์เพื่อศึกษาการตอกค้างของโลหะโคโรเมียมและนิกเกลจากหัวใจ

รากฟันเทียมที่ถูกใช้งานมาแล้ว โดยศึกษาความแตกต่างของปริมาณการตอกค้างของโคโรเมียมและนิกเกลในกระดูกเมื่อใช้หัวใจรากฟันเทียมครั้งที่ 1 ครั้งที่ 10 และครั้งที่ 20

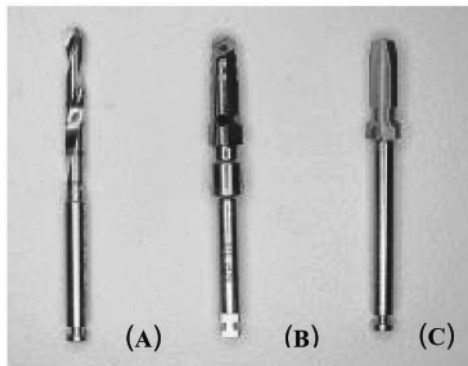
## วัสดุและวิธีการ

ในการทดลองนี้ใช้หัวใจรากฟันเทียมจำนวน 11 ชุด 1 ชุดหัวใจต่อกระดูกขากรรไกรวัว 1 ขากรีไกร หัวใจรากฟันเทียม 1 ชุดเรียงลำดับตามเส้นผ่านศูนย์กลาง ประกอบด้วยหัวใจเทปเปอร์ทิป เส้นผ่านศูนย์กลาง 2 มิลลิเมตร (Tapered tip drill, Replace® Select Nobel Biocare, ประเทศไทย สวิตเซอร์แลนด์) หัวใจเทปเปอร์ เส้นผ่านศูนย์กลาง 3.5 มิลลิเมตร (Tapered drill, Replace® Select Nobel Biocare, ประเทศไทย สวิตเซอร์แลนด์) และหัวใจรีเมอร์ เส้นผ่านศูนย์กลาง 3.7 มิลลิเมตร (Reamer drill, โครงการวิจัยพัฒนาผลิตรากฟันเทียมและอุปกรณ์ คณะทันตแพทยศาสตร์ จุฬาลงกรณ์มหาวิทยาลัย ประเทศไทย) (รูปที่ 1)

กระดูกที่ใช้ทดสอบเป็นกระดูกขากรรไกรล่างของวัว อายุ 2 ปี จำนวน 11 ตัว ขากรีไกรแต่ละขากรีไกรตัดเป็นกระดูกชิ้นทดสอบขนาด 8 x 8 x 12 ลูกบาศก์มิลลิเมตร จำนวน 21 ชิ้น โดยมีการควบคุมชั้นความหนาของกระดูกทิป (cortical bone) และกระดูกโปร่ง (cancellous bone) ที่เท่ากันในทุกชิ้นกระดูกทดสอบ สุ่มกระดูกชิ้นทดสอบ 1 ชิ้น เพื่อเป็นกระดูกควบคุม (control) (กระดูกควบคุม คือ กระดูกที่ไม่มีการเจาะด้วยหัวใจรากเทียมใดๆ) สุ่มกระดูกที่เหลืออีก 20 ชิ้นเพื่อใช้หัวใจรากเทียมทั้งสามตัวเจาะกระดูกชิ้นที่ 1 ถึง 20

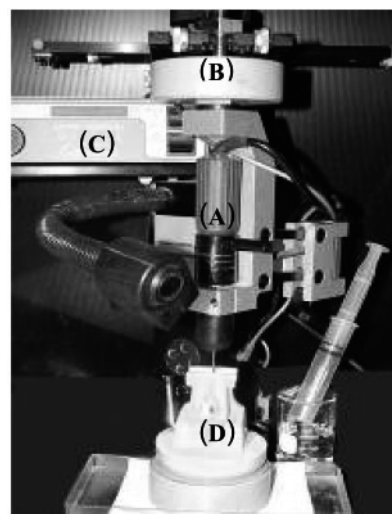
## กระบวนการเจาะกระดูกด้วยหัวใจรากฟันเทียม

การเจาะกระดูกใช้หัวใจรากฟันเทียม 1 ชุดต่อกระดูกขากรรไกรวัว 1 ตัว กระดูกชิ้นทดสอบแต่ละชิ้นถูกเจาะด้วยหัวใจทั้ง 3 ขนาดเรียงตามลำดับเส้นผ่านศูนย์กลางหัวใจ เพื่อให้ขนาดฐานเจาะสุดท้ายสามารถรองรับรากฟันเทียมที่มีขนาดเส้นผ่านศูนย์กลางใกล้เคียงกับขนาดหัวใจสุดท้าย การตอกค้างของโคโรเมียมและนิกเกลที่เกิดจากหัวใจ เป็นผลรวมของการตอกค้างของโลหะภายหลังการเจาะด้วยหัวใจทั้ง 3 ตัว ในการเจาะกระดูก หัวใจราก



**รูปที่ 1** หัวเจาะรากฟันเทียมที่ใช้ในการวิจัย (A) คือ หัวเจาะเทปเบอร์ทิป เส้นผ่านศูนย์กลาง 2 มิลลิเมตร (บริษัทวีเพลสชีล็อก ในเบลไบโอดีแคร์) (B) คือ หัวเจาะเทปเบอร์ เส้นผ่านศูนย์กลาง 3.5 มิลลิเมตร (บริษัทวีเพลสชีล็อกในเบลไบโอดีแคร์) (C) คือ หัวเจาะรีมเมอร์ เส้นผ่านศูนย์กลาง 3.7 มิลลิเมตร (โครงการวิจัยพัฒนาผลิตภัณฑ์รากฟันเทียมและอุปกรณ์)

**Fig. 1** Implant drills (A) a tapered tip drill 2 millimeters in diameter (Replace<sup>®</sup> Select Nobel Biocare), (B) a tapered drill 3.5 millimeters in diameter (Replace<sup>®</sup> Select Nobel Biocare), (C) a reamer drill 3.7 millimeters in diameter (Implant research project)



**รูปที่ 2** เครื่องกำหนดการตั้งฉากของหัวกรรไ祐โซพาราเรลโลมิเตอร์ซึ่งใช้สำหรับเจาะกระดูก (A) คือ แท่นหัวเจาะ (B) คือ ตั้มน้ำหนัก (C) คือ แผงควบคุมความเร็วรอบในการเจาะ (D) คือ แท่นจับชิ้นงาน

**Fig. 2** Drill machine with isoparallel handpiece. (A) drill handpiece, (B) weight pendulum, (C) speed control box, (D) specimen holder

ฟันเทียมจะถูกยึดแน่นกับเครื่องกำหนดการตั้งฉากของหัวกรรไ祐โซพาราเรลโลมิเตอร์ (Isoparallelometer) โดยกำหนดให้มีความเร็วรอบการหมุน 1,500 รอบต่อนาที และมีตั้มน้ำหนัก 1,500 กรัม กดบริเวณแท่นหัวเจาะ (รูปที่ 2) นำชิ้นกระดูกยึดกับแท่นจับชิ้นงานโดยวางให้ปลายหัวเจาะอยู่บริเวณกึ่งกลาง

ชิ้นกระดูก ทำการเปิดสวิตช์พร้อมกับปล่อยตั้มน้ำหนัก เพื่อให้เกิดแรงกดหัวเจาะและมีการฉีดน้ำบริเวณกระดูกด้วยอัตราที่คงที่ หยุดเจาะเมื่อมีความลึกของหัวเจาะในกระดูก 10 มิลลิเมตร ทำความสะอาดหัวเจาะรากฟันเทียมทุกครั้งด้วยเครื่องทำความสะอาดคลีนไฟฟ้า (ultrasonic) ภายหลังล้างสุกด้วยการเจาะในแต่ละครั้ง

## การวิเคราะห์ปริมาณโลหะด้วยแกรไฟต์เฟอเนท อะตอมมิกแอบซอร์พชั้นสเปกโตรไฟโตมิเตอร์

วิเคราะห์หาปริมาณโลหะโดยเมื่อยมและนิกเกิลที่ตกค้างในชิ้นกระดูกควบคุม ชิ้นกระดูกที่ถูกเจาะเป็นลำดับที่ 1 10 และ 20 ของกระดูกขากรรไกรล่างวัวทั้ง 11 ขาระริการ ด้วยแกรไฟต์เฟอเนท อะตอมมิกแอบซอร์พชั้นสเปกโตรไฟโตมิเตอร์ ใน การวิเคราะห์หาปริมาณโลหะที่มีจำนวนน้อย ด้วยเทคนิคนี้สารทดสอบต้องอยู่ในรูปสารละลาย ทำการเตรียมตัวอย่างตามวิธีของ Butcher และ Sneddon<sup>6</sup> โดยอบกระดูกให้แห้งและนำไปเผาที่อุณหภูมิ 600 องศาเซลเซียส จากนั้นทำการย่อโดยวัดกรดในตระกิจเข้มข้น 15 เปอร์เซ็นต์ และให้ความร้อนจนสารละลายใส นำสารละลายไปวิเคราะห์โลหะทั้งสองด้วยเครื่องแกรไฟต์เฟอเนทที่มีขีดจำกัดต่ำสุดของเครื่องในการวิเคราะห์ (Limit of Detection) ธาตุโดยเมื่อยมและนิกเกิล คือ 0.05 และ 0.20 ไมโครกรัมต่อลิตร (พีพีบี; ppb: part per billion) การวิเคราะห์โลหะหนักด้วยเครื่องแกรไฟต์เฟอเนท อะตอมมิกแอบซอร์พชั้นสเปกโตรไฟโตมิเตอร์ให้ผลเป็นความเข้มข้น จึงต้องคำนวณหาปริมาณโลหะต่อหนึ่งหน่วยสาร โดยคำนวณจากปริมาตรรสุทธิของสารละลายกระดูกและน้ำหนักของกระดูกหลังผ่า การคำนวณ ปริมาณสารไมโครกรัมต่อหนึ่งหน่วยกรัม หาจากสูตรคือ

### ปริมาณสารไมโครกรัมต่อหนึ่งหน่วยกรัม

$$= (\text{ความเข้มข้นของธาตุในสารละลาย} / \text{ไมโครกรัมต่อลิตร}) \times \text{ปริมาตรสารละลายกระดูกที่ถูกเจาะจากด้วยกรด (ลิตร)} / \text{น้ำหนักชิ้นกระดูกทดสอบ (กรัม)}$$

จากนั้นคำนวณปริมาณโลหะตกค้างจากการเจาะ (Delta bone) จากผลต่างของปริมาณโลหะจากชิ้นกระดูกที่ถูกเจาะด้วยหัวเจาะที่ใช้เจาะลำดับต่างๆ (ลำดับที่ 1 10 และ 20) กับปริมาณโลหะจากชิ้นกระดูกที่ไม่ผ่านการเจาะ เปรียบเทียบปริมาณโลหะโดยเมื่อยมและนิกเกิลที่ตกค้างจากการเจาะที่ลำดับต่างๆ โดยใช้สถิติคูสคัล-วัลลิส (Kruskal-Wallis test) และการเปรียบเทียบพหุคุณระหว่างกลุ่ม (Multiple comparison between treatments) ที่ระดับนัยสำคัญ 0.05

## การศึกษาบริเวณพื้นผิวหัวเจาะรากฟันเพื่อยมก่อนและภายหลังการเจาะกระดูก

ศึกษาลักษณะพื้นผิวของหัวเจาะรากฟันเพื่อยมโดยใช้กล้องจุลทรรศน์อิเลคทรอนชนิดส่องกราด (Scanning electron microscope) ที่ 15 กิโลโวลต์ กำลังขยาย 50 เท่า และ 500 เท่า และวิเคราะห์ชนิดของโลหะบนพื้นผิวหัวเจาะรากฟันเพื่อยม ด้วยเครื่องวิเคราะห์ธาตุด้วยรังสีเอ็กซ์ (Energy dispersive X-ray spectrometry, SEM-EDS/EDX) ที่ 20 กิโลโวลต์ (kV)

## ผลการศึกษา

การใช้หัวเจาะรากฟันเพื่อยมใหม่ที่ยังไม่ผ่านการใช้งานได้ เมื่อนำมาใช้เจาะกระดูกครั้งแรกพบว่ามีปริมาณโดยเมื่อยมและนิกเกิลตกค้างในกระดูกน้อยที่สุด เมื่อใช้หัวเจาะเป็นครั้งที่ 10 พ布ว่าค่าเฉลี่ยของปริมาณโดยเมื่อยมและนิกเกิลที่ตกค้างในกระดูกมีค่าเพิ่มขึ้น และเมื่อใช้หัวเจาะเป็นครั้งที่ 20 พบว่าปริมาณโดยเมื่อยมและนิกเกิลที่ตกค้างในกระดูกมีค่ามากที่สุด เมื่อทดสอบทางสถิติพบว่าปริมาณโดยเมื่อยมที่ตกค้างในกระดูกเมื่อใช้หัวเจาะครั้งที่ 1 แตกต่างจากเมื่อใช้หัวเจาะครั้งที่ 10 และ 20 อย่างมีนัยสำคัญทางสถิติ ( $p < 0.05$ ) สำหรับนิกเกิลพบว่าปริมาณที่ตกค้างในกระดูกเมื่อใช้หัวเจาะครั้งที่ 1 แตกต่างอย่างมีนัยสำคัญทางสถิติกับเมื่อใช้หัวเจาะครั้งที่ 20 เท่านั้น (ตารางที่ 1)

การศึกษาลักษณะพื้นผิวของหัวเจาะรากฟันเพื่อยมก่อนและภายหลังการเจาะกระดูกด้วยกล้องจุลทรรศน์อิเลคทรอนแบบส่องกราดแสดงให้เห็นว่า หัวเจาะเทปเปอร์ทิปก่อนการเจาะพบหลุมและร่องบนพื้นผิวน้อยกว่าพื้นผิวหัวเจาะที่ผ่านการเจาะกระดูกครั้งที่ 10 และ 20 หัวเจาะเทปเปอร์มีความชุรุรของพื้นผิวเพิ่มขึ้นเมื่อผ่านการใช้งานครั้งที่ 20 ลักษณะพื้นผิวหัวเจาะรีเมอร์เมื่อใช้กำลังขยาย 50 เท่า ก่อนการเจาะและภายหลังการเจาะครั้งที่ 10 และ 20 ไม่แสดงให้เห็นความเปลี่ยนแปลงใดๆ และเมื่อเพิ่มกำลังขยายเป็น 500 เท่า พบว่าก่อนและหลังการใช้หัวเจาะยังคงไม่เห็นความเปลี่ยนแปลง (รูปที่ 3) การวิเคราะห์โลหะที่เป็นองค์ประกอบส่วนใหญ่บนพื้นผิวหัวเจาะรากฟันเพื่อยมด้วยอุปกรณ์วิเคราะห์รังสีเอ็กซ์พบว่าหัวเจาะเทปเปอร์ทิปมีค่าเหล็กสูงที่สุด และมีโดยเมื่อยมนิกเกิลสูงเป็นลำดับต่อมา หัวเจาะเทปเปอร์พบว่ามีค่าไททาเนียม

**ตารางที่ 1** ค่าเฉลี่ย ส่วนเบี่ยงเบนมาตรฐาน ค่าต่ำสุดและสูงสุดของโครเมียมและnickelเกลที่ตกค้างจากหัวเจาะรากเทียมที่ผ่านการใช้เจาะในครั้งที่ 1 ครั้งที่ 10 และ ครั้งที่ 20

**Table 1** Mean, standard deviation (S.D.), minimum and maximum of chromium and nickel residues ( $\mu\text{g/g}$ ) in bone from the drills were used the first round, tenth round and twentieth round

<b>repeated implant drilling (round)</b>	<b>Chromium residues (<math>\mu\text{g/g}</math>)</b>			<b>Nickel residues (<math>\mu\text{g/g}</math>)</b>		
	<b>Mean <math>\pm</math> S.D.</b>	<b>Min</b>	<b>Max</b>	<b>Mean <math>\pm</math> S.D.</b>	<b>Min</b>	<b>Max</b>
1 <sup>st</sup> round	* [ 0.045 $\pm$ 0.124	0.000	0.413	0.034 $\pm$ 0.049	0.000	0.138
10 <sup>th</sup> round	* [ 0.090 $\pm$ 0.079	0.020	0.255	* [ 0.092 $\pm$ 0.103	0.000	0.277
20 <sup>th</sup> round	[ 0.249 $\pm$ 0.347	0.000	1.180	[ 0.197 $\pm$ 0.135	0.005	0.460

\*indicates statistically significant difference in residual chromium and nickel in bone ( $p < 0.05$ )

มากที่สุดและเหล็กสูงเป็นลำดับต่อมา เช่นเดียวกับผลของหัวเจาะรีมเมอร์ที่ผลิตขึ้นในโครงการวิจัยพัฒนาผลิตภัณฑ์รากฟันเทียมและอุปกรณ์ที่พับสเปคตรัมธาตุไทยาเนียมที่สูงกว่ามีกับในต่อเนื่องและแบบไม่พับโครเมียมและnickelเกลบบริเวณหัวเจาะเลย (รูปที่ 4)

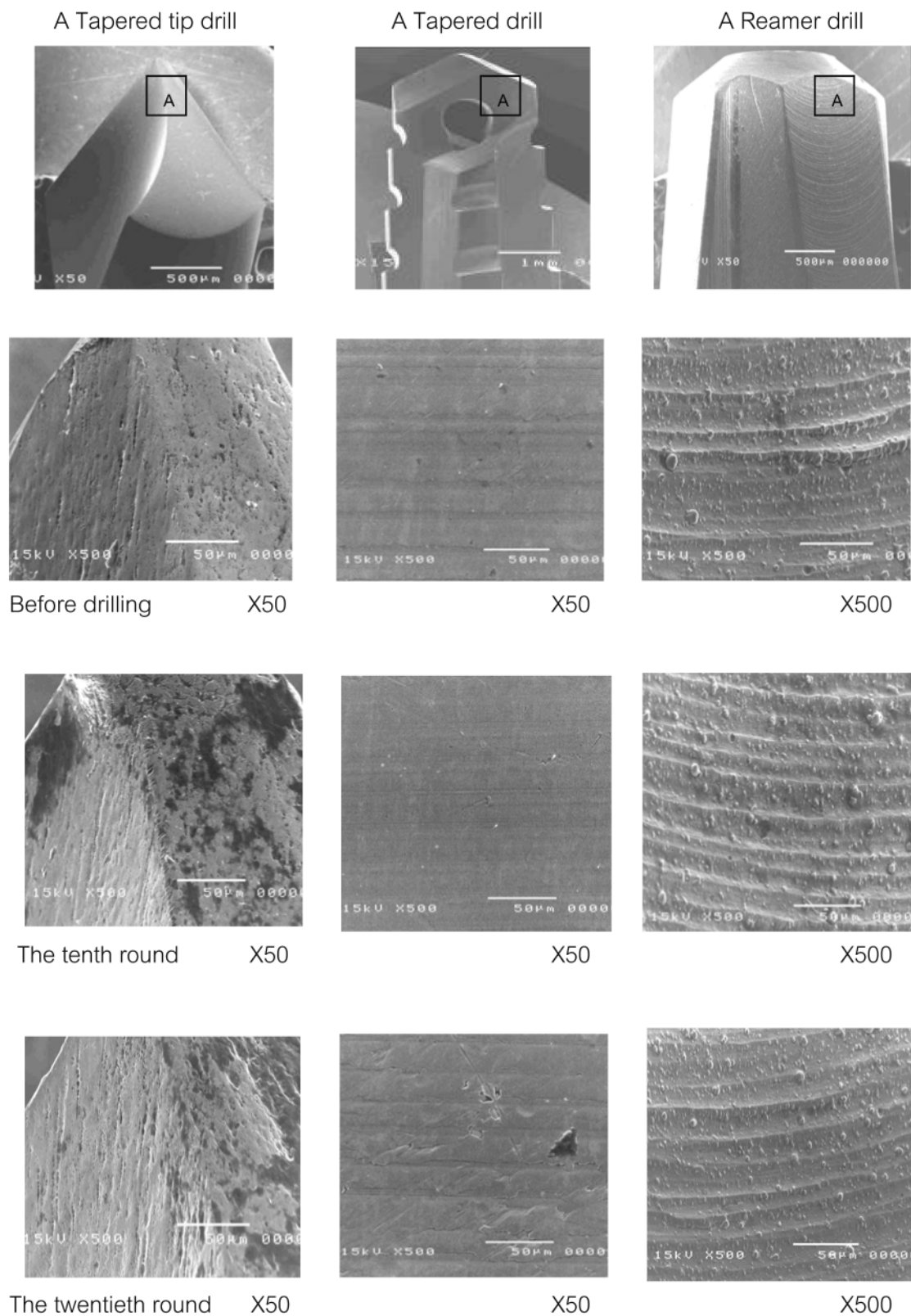
## วิจารณ์

หัวเจาะรีมเมอร์ซึ่งเป็นหัวเจาะตัวสุดท้ายในการวิจัยครั้งนี้ เป็นหัวเจาะที่ผลิตขึ้นในโครงการวิจัยพัฒนาผลิตภัณฑ์รากฟันเทียมและอุปกรณ์ โดยมีจุดประสงค์เพื่อเตรียมกระดูกขั้นสุดท้าย ก่อนการผักรากฟันเทียมและสามารถรองรับกับรากฟันเทียมที่ผลิตในโครงการวิจัยเดียวกัน โดยทั่วไปแล้วการเริ่มต้นเจาะกระดูกสามารถใช้หัวเจาะขนาดเล็กผ่านศูนย์กลางเหล็กกว่ารากฟันเทียมจากบริษัทไดกีไดในการขยายกระดูกเพื่อให้หัวเจาะตัวสุดท้ายซึ่งมีขนาดและรูปร่างใกล้เคียงกับรากฟันเทียมสามารถเจาะในกระดูกได้ง่ายขึ้น

จากการศึกษาสำหรับพบว่า ไม่มีความแตกต่างของปริมาณโครเมียมและnickelในชิ้นกระดูกวัตถุลักษณ์ที่ถูกตัดจากขากรรไกรเดียวกัน จึงเป็นแนวทางในการเตรียมกระดูกทดสอบในงานวิจัยนี้ จากผลการทดลองพบการตกค้างของโครเมียมและnickelในกระดูกภายหลังการเจาะกระดูกด้วยหัวเจาะรากฟันเทียม แม้ว่าจะไม่พับความแตกต่างอย่างมีนัย

สำคัญทางสถิติของปริมาณโครเมียมและnickelในกระดูกที่ไม่ผ่านการเจาะใด ๆ กับกระดูกที่ผ่านการเจาะด้วยหัวเจาะที่ใช้ครั้งที่ 1 แต่เมื่อใช้หัวเจาะซ้ำ ๆ หรือใช้หัวเจาะที่ผ่านการเจาะกระดูกมาแล้วหลายครั้งจะพบว่ามีปริมาณโครเมียมและnickelเกลตกค้างในกระดูกมากขึ้น (ตารางที่ 1) จากผลการทดลองแสดงให้เห็นว่าโลหะโครเมียมและnickelเกลที่เป็นองค์ประกอบของหัวเจาะสามารถหลุดออกมาระหว่างการเจาะกระดูกแม้ว่าจะมีการซักล้างด้วยน้ำอ้อย่างต่อเนื่อง การเสียดสีของพื้นผิวหัวเจาะกับกระดูกทำให้สารเคลือบผิวของหัวเจาะรากฟันเทียมบางส่วนมีการหลุดลอกทำให้มีการตกค้างของโลหะที่เป็นองค์ประกอบของเหล็กกล้าไวร์สันมิจากหัวเจาะปะเบือนในกระดูก

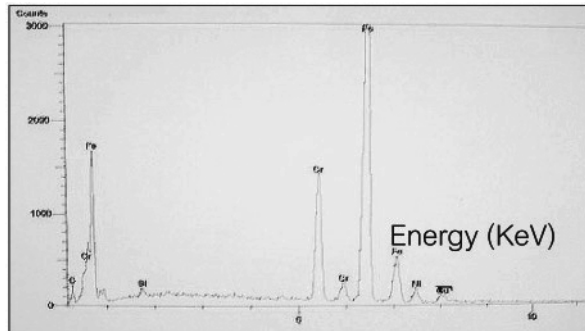
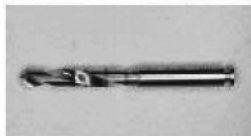
การวิเคราะห์โลหะที่เป็นองค์ประกอบส่วนใหญ่บนพื้นผิวหัวเจาะรากฟันเทียม (รูปที่ 4) พบว่า หัวเจาะเทปเบอร์ทิปมีค่าเหล็กสูงที่สุด และมีโครเมียมnickelสูงเป็นลำดับต่อมา เป็นไปตามองค์ประกอบของกลุ่มเหล็กประเภทเหล็กกล้าไวร์สันมินอกจากนี้ยังไม่พบธาตุใดที่สูงเกินกว่าเหล็กและโครเมียม จึงจัดเป็นเหล็กกล้าไวร์สันมิที่ไม่มีการเคลือบผิวใด ๆ (coating) บริเวณหัวเจาะ สำหรับหัวเจาะเทปเบอร์พบว่ามีค่าไฟฟ้าเนียมมากที่สุด และเหล็กสูงเป็นลำดับต่อมา แสดงว่าหัวเจาะเทปเบอร์เป็นโลหะเหล็กกล้าไวร์สันมิที่มีการเคลือบผิวด้วยวัสดุที่มีไฟฟ้าเนียมเป็นองค์ประกอบ การเคลือบผิวหัวเจาะด้วยไฟฟ้าเนียมในต่อตัวเป็นชั้นบาง ๆ บริเวณด้านตัดเป็นเทคโนโลยีใหม่ใน



**รูปที่ 3** ลักษณะพื้นผิวหัวเจาะรากเทียมจากกล้องทรรศน์ชนิดส่องกราด, A คือ ตำแหน่งศึกษา

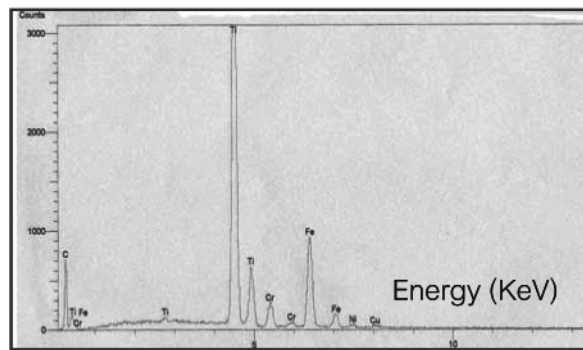
**Fig. 3** Surface of implant drill from scanning electron microscope, A is study area

A : Tapered tip drill



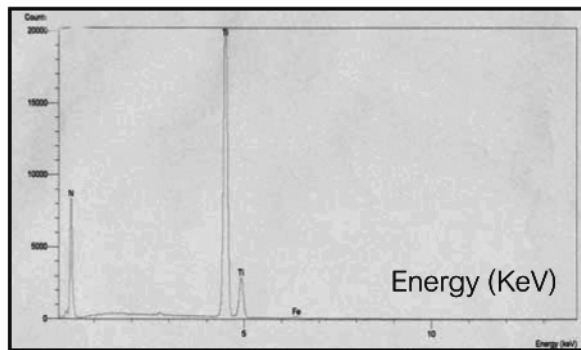
Most metal components on surface of implant drill = Fe<sup>\*\*</sup>, Cr<sup>\*</sup>, Ni, Mo, Si, C

B : Tapered drill



Most metal components on surface of implant drill = Ti<sup>\*\*</sup>, Fe<sup>\*</sup>, Cr, C, Ni, Cu

C: Reamer drill



Most metal components on surface of implant drill = Ti<sup>\*\*</sup>, N<sup>\*</sup>, Fe

**รูปที่ 4** โลหะที่เป็นองค์ประกอบบริเวณพื้นผิวหัวเจาะรากเทียมด้วยอุปกรณ์วิเคราะห์รังสีเอกซ์  
 \*\* องค์ประกอบของโลหะที่พบมากที่สุดบริเวณพื้นผิว  
 \* องค์ประกอบของโลหะที่พบมากเป็นลำดับต่อมาบริเวณพื้นผิว

**Fig. 4** Metal component on surface of implant drill by SEM-EDS/EDX

\*\* The most component of metal found on implant surface

\* The second rank of metal found on implant surface

การสร้างหัวเจาะเพื่อทำให้หัวเจาะมีความคมและคงทนต่อการใช้งานได้ยาวนานขึ้นเมื่อเปรียบเทียบกับหัวเจาะเหล็กกล้าคาร์บีดที่ไม่ผ่านการเคลือบผิว และเมื่อวิเคราะห์ธาตุโลหะที่เป็นองค์ประกอบในหัวเจาะที่เคลือบันมักพบธาตุไททาเนียมสูง<sup>7</sup> ผลของโลหะบริเวณพื้นผิวหัวเจาะรีมเมอร์ที่ผลิตขึ้นในโครงการวิจัยพัฒนาผลิตราฟพินเทียมและอุปกรณ์ที่พบสเปคตรัมธาตุไททาเนียมที่สูงร่วมกับใบโปรดเจนและแทบไม่พบโครเมียมและนิกเกิลบริเวณหัวเจาะเลย จึงอาจเกิดจาก การเคลือบผิวที่มีความหนามากด้วยไททาเนียมในไตรด์ ทำให้กระเสือกครอต Kron จากเครื่องรังสีเอกซ์ไม่สามารถยิงผ่าน หะลุความหนาของชั้นเคลือบผิวไปถึงแกนเหล็กกล้าไวรัสนิมได้ ซึ่งธาตุที่มีปริมาณน้อยกว่า 1% โดยน้ำหนักจะไม่แสดงให้เห็น เป็นค่าสเปคตรัมในภาพ เมื่อวิเคราะห์ด้วยวิธีอีช<sup>8</sup>

เนื่องด้วยข้อจำกัดด้านทุนทรัพย์ การวิจัยนี้จึงศึกษา เฉพาะการตกค้างของโครเมียมและนิกเกิลเท่านั้น เนื่องจาก มีงานวิจัยพบว่านิกเกิลและโครเมียมมีผลทำให้กระบวนการ สะสมเร็วธาตุในกระดูกโดยเฉพาะการสะสมของแคลเซียม และฟอสฟอรัสในกระดูกมีปริมาณน้อยลง และการตกค้าง ไอโอดนของโลหะ “โครเมียม” มีผลต่อการลดการแบ่งตัวของ เชลล์คอสทีโอบลัส และลดการสร้างเคราะห์สารรอบๆ เชลล์ที่ ทำให้เกิดการตอบสนองของเชลล์สร้างกระดูกเปลี่ยนแปลงไป<sup>3,4</sup> อ่อนยวบ กีตาน หัวเจาะเหล็กกล้าไวรัสนิมยังประกอบด้วยธาตุ อื่นๆ ซึ่งการตกค้างของโลหะในระดับที่ก่อให้เกิดความเป็น พิษหรือปฏิกิริยาระหว่างสารประกอบของโลหะต่างชนิดกันที่ ตกค้างในกระดูกเป็นลิ่งที่ต้องทำการศึกษาต่อไป

## สรุป

เมื่อใช้ชุดหัวเจาะรากฟันเทียมที่ประกอบด้วยหัวเจาะ รากฟันเทียม 3 หัว ที่มีขนาดและผลิตจากบริษัทรากฟันเทียม ตามที่กำหนดไว้ในการทดลอง พบร่วมกีการตกค้างของโครเมียม และนิกเกิลในกระดูกเมื่อใช้หัวเจาะกระดูกซ้ำโดยพบว่าการใช้ หัวเจาะครั้งที่ 10 ทำให้เกิดการตกค้างของโครเมียมในกระดูก แตกต่างจากการใช้หัวเจาะครั้งแรกอย่างมีนัยสำคัญทางสถิติ และการใช้หัวเจาะครั้งที่ 20 ทำให้เกิดการตกค้างของโครเมียม และนิกเกิลจากหัวเจาะในกระดูกมากที่สุด และแตกต่างอย่าง มีนัยสำคัญทางสถิติเมื่อเปรียบเทียบกับการใช้หัวเจาะครั้งแรก

## กิตติกรรมประกาศ

คณะกรรมการวิจัยขอขอบคุณสำนักงานคณะกรรมการวิจัยแห่งชาติ แผนงานวิจัยแบบบูรณาการทางด้านวัสดุอุปกรณ์ และเครื่องมือทางการแพทย์ที่ให้ทุนสนับสนุนการวิจัย และ รศ.พ.ดร.ประสิทธิ์ ภาสันต์ ที่ให้คำปรึกษาในการทำวิจัย ครั้งนี้

## เอกสารอ้างอิง

- Granchi D, Amato I, Battistelli L, Ciapetti G, Pagani S, Avnet S, et al. Molecular basis of osteoclastogenesis induced by osteoblasts exposed to wear particles. *Biomaterials*. 2005;26:2371-9.
- Schaffer AW, Pilger A, Engelhardt C, Zweymüller K, Ruediger HW. Increased blood cobalt and chromium after total hip replacement. *J Toxicol Clin Toxicol*. 1999;37:839-44.
- Granchi D, Verri E, Ciapetti G, Savarino L, Cenni E, Gori A, et al. Effects of chromium extract on cytokine release by mononuclear cells. *Biomaterials*. 1998;19:283-91.
- Ning J, Henderson C, Grant MH. The cytotoxicity of chromium in osteoblasts: effects on macromolecular synthesis. *J Mater Sci Mater Med*. 2002;13: 47-52.
- Morais S, Sousa JP, Fernandes MH, Carvalho GS, de Bruijn JD, van Blitterswijk CA. Decreased consumption of Ca and P during in vitro biomineratization and biologically induced deposition of Ni and Cr in presence of stainless steel corrosion products. *J Biomed Mater Res*. 1998;42:199-212.
- Butcher DJ, Sneddon J. A practical guide to graphite furnace atomic absorption spectrometry. New York: Wiley-Interscience, 1998:125-33.
- Kay JF, Gilman L, May TC. The tri-spade drill for endosseous dental implant installation. *J Oral Implantol*. 1991;17:424-8.
- ASTM Standard E1508, 1998, “Standard guide for quantitative analysis by energy dispersive spectroscopy.” ASTM International, West Conshohocken, PA, 1998, DOI: 10.1520/E1508-98RO8, www.astm.org.

# A Study of Chromium and Nickel Residues in Bone After Drilling with Implant Drills

Umaporn Vimonkittipong D.D.S.<sup>1</sup>

Sunphat Namano D.D.S., M.Sc., Diplomate, Thai Board of Prosthodontic Dentistry<sup>2</sup>

Sittichai Tudsri B.Sc., D.D.S., M.D., B.P.A., Diplomate, Thai Board of Oral and

Maxillofacial Surgery<sup>3</sup>

<sup>1</sup>Graduate student, Department of Prosthodontics, Faculty of Dentistry, Chulalongkorn University

<sup>2</sup>Department of Prosthodontics, Faculty of Dentistry, Chulalongkorn University

<sup>3</sup>Department of Oral and Maxillofacial Surgery, Faculty of Dentistry, Chulalongkorn University

## Abstracts

**Objective** To study the concentration of chromium and nickel residues in bone occurred after using repeated implant drill set burs (The first, tenth and twentieth round of drilling)

**Materials and methods** This study used 11 bovine mandibles. Each mandible was cut into 21 bone blocks with the size of 8 x 8 x 12 cubic millimeters. One bone block was randomly selected to be as control. The other 20 bone blocks were also randomly selected in drilling process. One set of drill was used for one mandible. Each set of drill consisted of: 2-millimeter tapered tip bur (Replace Select Nobel Biocare), 3-millimeter tapered bur (Replace Select Nobel Biocare) and 3.7-millimeter reamer bur (The implant research project). Drilling was performed on each bone block by using various diameters of drill burs from small to large diameter. Drilling force, rotation speed, and depth of drilling were controlled in drilling process. Chromium and nickel residues in bone were detected by graphite furnace atomic absorption spectrometer in the controlled bone block, the first drilled bone block, the tenth drilled bone block and the twentieth drilled bone block. Data were analyzed by Kruskal-Wallis, with predetermined significant level of 0.05.

**Results** Residual chromium and nickel were found the most in bone when the drills were used in the twentieth round and found the least when the drills were used in the first round. Residual chromium in bone from the first round drills was significantly less than that of the tenth and the twentieth round drills. However, residual nickel in bone was significantly different between the first round drills and the twentieth round drills

**Conclusion** The study of chromium and nickel residues in bone found that using repeated drill set bur following this research can cause chromium and nickel residues in bone. Residual chromium and nickel were found the most when used in the twentieth round and were significantly greater than that of the new ones.

(CU Dent J. 2011;34:99–108)

**Key words:** bone; chromium; implant drill; wear